



AGH

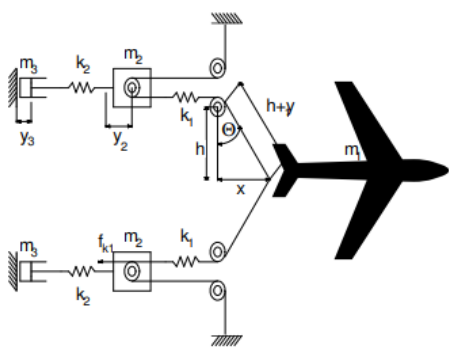
Modelowanie Systemów dynamicznych – Adam Frydel
Automatyka i Robotyka II Rok, Sprawozdanie
„Model Urządzenia Hamującego Samoloty”

Cel Ćwiczenia:

Celem ćwiczenia jest zbudowanie kompletnego modelu urządzenia hamującego z tłumikiem wodnym w środowisku SIMULINK, bazując na przedstawionym modelu matematycznym. Realizacja zadania pozwala na analizę działania układu dynamicznego poprzez implementację równań ruchu dla mas m_1 , m_2 i m_3 oraz wprowadzenie nieliniowej siły tłumienia. W celu ukończenia zadania wymagane było utworzenie poznanych już przeze mnie wcześniej bloczków oraz dołożenie nowych takich jak: Fcn, Lookup Table oraz Product.

Niezbędne obliczenia do zadania:

Zadanie zacząłem od analizy zadanego problemu do zamodelowania:



Aby opracować model symulacyjny działania urządzenia hamującego samoloty na lotniskowcach, muszę przeprowadzić obliczenia dynamiczne, które uwzględniają interakcje między masami, sprężynami i tłumikami wodnymi. Będę wykonywał następujące kroki:

1. Sformułuję równanie ruchu samolotu (m_1), uwzględniając działające siły sprężystości fk_1 . Równanie to wygląda tak:

$$m_1x'' = -2fk_1 \sin\theta,$$

gdzie:

$$\sin\theta = x / \sqrt{x^2 + h^2},$$

$$y_1 = \sqrt{x^2 + h^2} - h$$

2. Określę równanie ruchu przesuwanej masy (m_2):

$$m_2 * y''^2 = 2 * fk_1 - fk_2,$$

gdzie siły sprężystości fk_1 i fk_2 zależą od przemieszczeń y_1 i y_2 .

3. Sformułuję równanie ruchu tłumika wodnego (m_3):

$$m_3 * y'''^3 = fk_2 - fb,$$

gdzie siła tłumiąca fb ma nieliniową zależność:

$$Fb = f(y_3) * (dy_3)^2,$$

Deklaracja zmiennych:

Przed przystąpieniem do modelowania obiektu w simulinku ważne było abyem odpowiednio zadeklarował zmienne. W tym celu przepisałem je zgodnie z przykładem odpowiednio implementując chociażby k_1 oraz k_2 przemnażając je przez 1000, gdyż w konspekcie wartości zostały podane w formie kilo-jednostek. Ostatecznie zmienne wpisałem do terminala Matlaba w poniższej formie:

$m1=14000;$

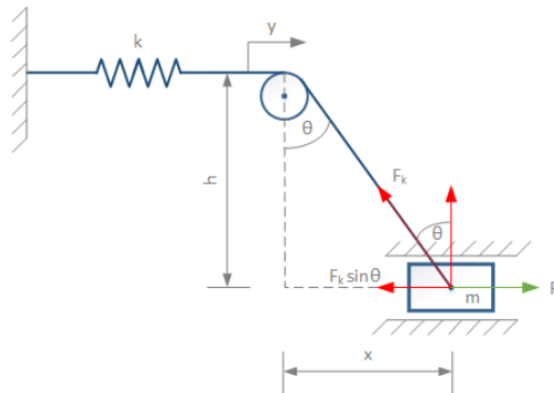
$m2=450.28;$

$m3=200;$

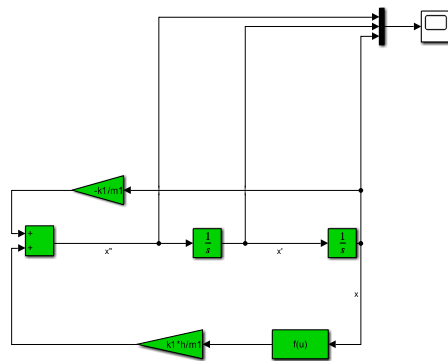
$$\begin{aligned}k_1 &= 54700; \\k_2 &= 303600 \\h &= 42;\end{aligned}$$

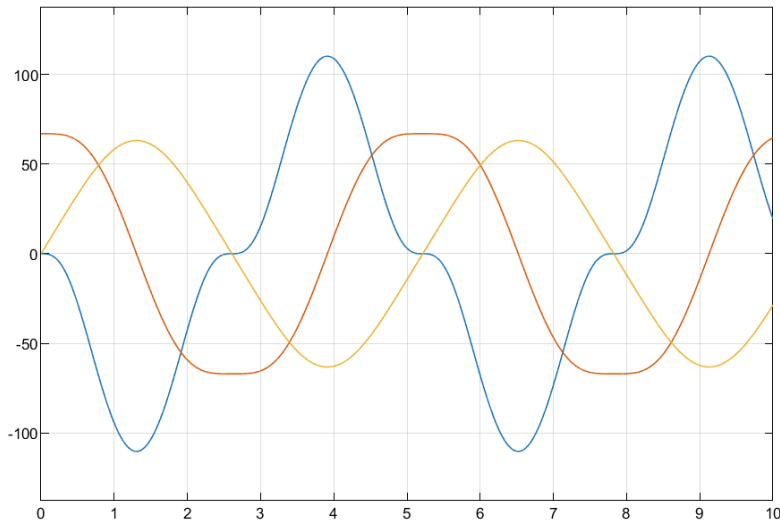
Model Wstępny:

Ponieważ finalny model jest rozbudowany zadanie zostało podzielone na kilka mniejszych fragmentów, z których każdy został przeze mnie krok po kroku zrealizowany. Zarejestrowałem również oscyloskopem zmianę wartości prędkości przyspieszenia oraz położenia bloczka m1. Na początku zrealizowałem model wstępny gdzie całość pokolorowałem na zielono jedynie dla czytelności (później będzie mi dzięki temu łatwiej rozbudowywać ten model).



Początkowo połączylem ze sobą dwa integratory aby uzyskać pierwszą i drugą pochodną po położeniu masy m1. Następnie użyłem bloczka Fcn gdzie doprowadziłem zmienną x. Tam wprowadziłem wartość $u/\sqrt{u^2+h^2}$, a następnie wzmacniłem ją bloczkiem gain o wartości $k_1 \cdot h / m_1$. Uzyskany wynik doprowadziłem do 1 wejścia sumatora. Do drugiego wejścia natomiast doprowadziłem wartość x przemnożoną przez $-k_1/m_1$ za pośrednictwem bloczka gain. Wynik sumowania zwracał x''. Na sam koniec uwzględniałem również początkową wartość prędkości x' która zgodnie z konspektem miała wynieść 67. Układ można opisać równaniem $mx'' = -k(\sqrt{h^2+x^2}) - h)x/\sqrt{h^2+x^2}$



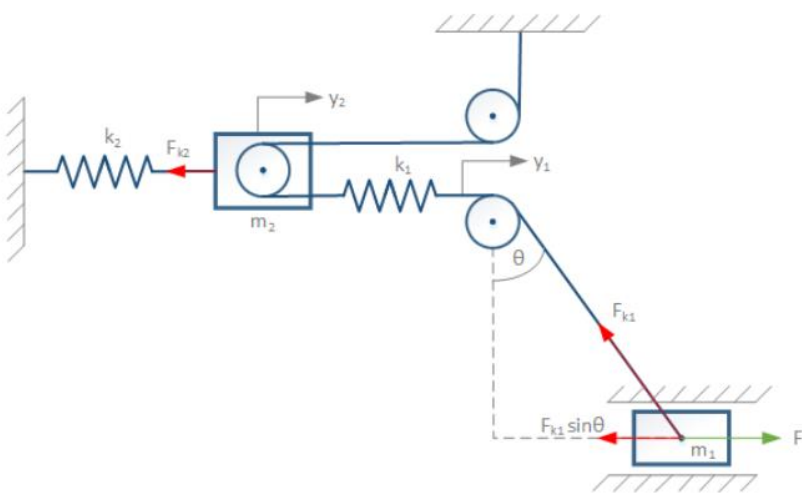


Niebieska linia – przyspieszenie, Żółta linia – położenie, Czerwona linia - prędkość

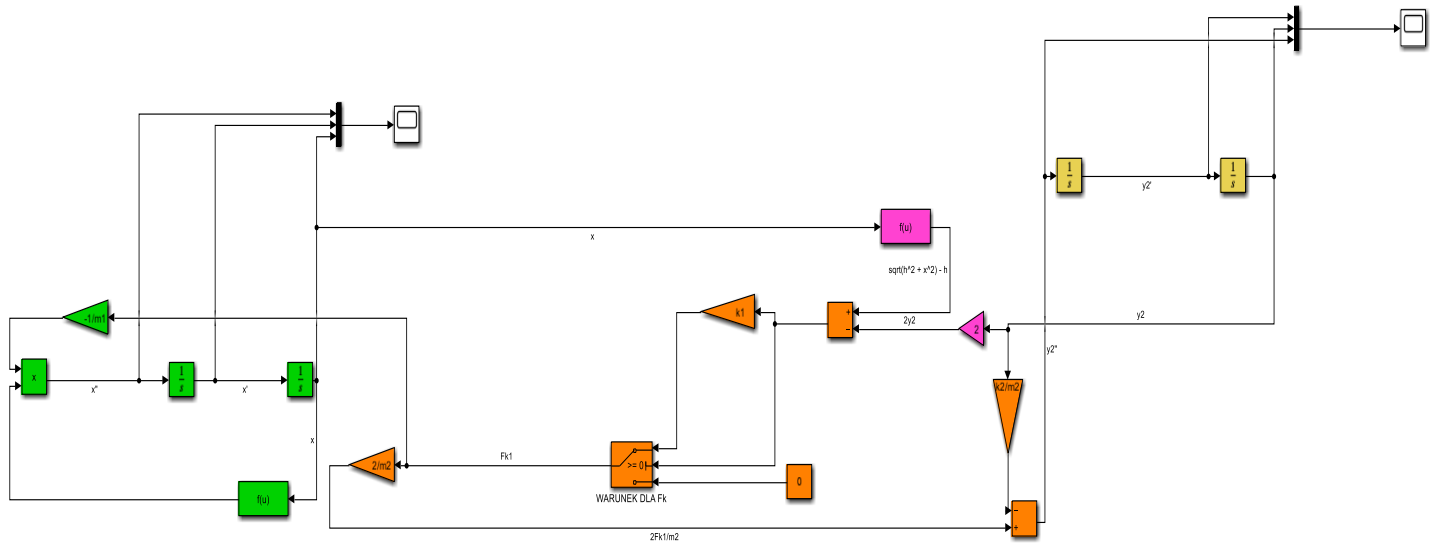
Jak widać przebieg zarejestrowany na oscyloskopie jest dosyć chaotyczny i nie umożliwiłby bezpiecznego lądowania dla samolotu. Zdecydowanie przydałoby się dodatkowe tłumienie, które uspokoiłoby przebiegi położenia prędkości oraz przyspieszenia bloczka o masie m_1 .

Model z bloczkiem przesuwnym:

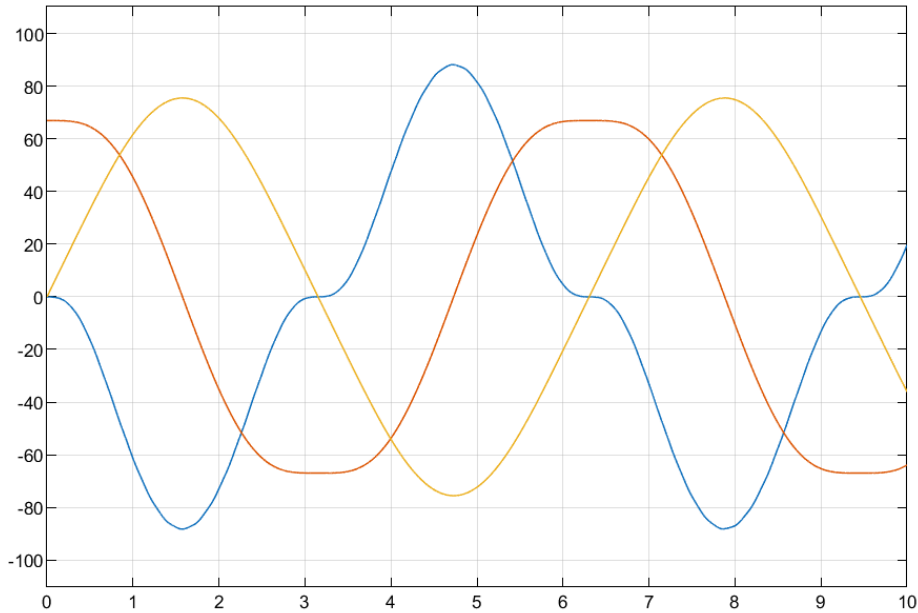
Następny krok, który przybliżył mnie do zamodelowania urządzenia hamującego samoloty było dodanie do schematu bloczka przesuwnego m_2 . Skutkowało to delikatnej zmianie w wyliczeniu x'' gdyż zależała ona już od zależności między y_1 a y_2 .



Najpierw jak zwykle połączylem ze sobą dwa integratory oznaczone na schemacie kolorem żółtym aby uzyskać dwie pochodne po położeniu bloczka m_2 . y_2 podpiąłem z jednej strony do sumatora z ujemnym znakiem wzmacniając go k_2/m_2 krotnie. Będzie mi to potrzebne do utworzenia zależności dla równania $y''_2 = -k_2/m_2 y_2 + 2Fk_1/m_2$. Jednocześnie y_2 podpiąłem przez 2-krotne wzmacnienie do sumatora ze znakiem minus. Drugie wejście do sumatora podpiąłem przez bloczek Fcn o zawartości $\text{sqrt}(h^2 + x^2) - x$ (jest to równe y_1) jak na poniższym schemacie. Elementy wchodzące do sumatora a później użyte przeze mnie do bloczku switch oznaczyłem kolorem magenta. Wyjście sumatora podpiąłem przez wzmacnienie k_1 do wejścia switcha, które określa co ma być na wyjściu switcha dla spełnionego warunku $y_1 - 2y_2 >= 0$. Do drugiego wejścia podpiąłem po prostu wyjście z sumatora czyli warunek na switcha, a do 3 wejścia bloczek const nadający wartość 0 w przypadku niespełnienia powyższego warunku. Wyjście ze switcha to sygnał Fk_1 . Połączylem go razem ze wzmacnieniem do bloczka product tworząc nową zależność dla x'' . Fk_1 również połączylem ze wzmacnieniem $2/m_2$ które podłączyłem do tego samego sumatora do którego wcześniej połączylem sygnał $y_2 * k_2 / m_2$. Na wyjściu tego sumatora powstał mi sygnał y_2 .

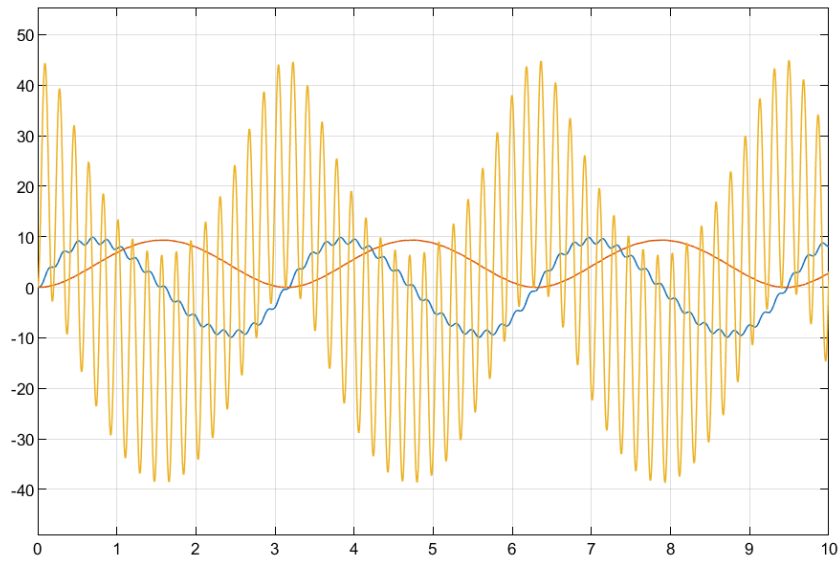


Przebieg zarejestrowany na oscyloskopie dla x:



Niebieska linia – przyspieszenie, Żółta linia – położenie, Czerwona linia - prędkość

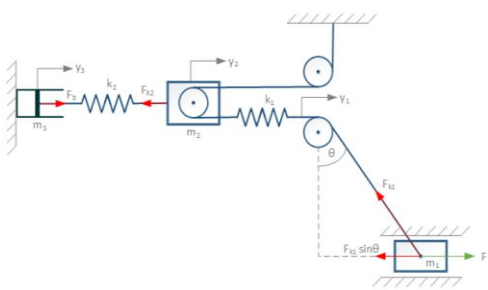
Przebieg zarejestrowany na oscyloskopie dla y2:



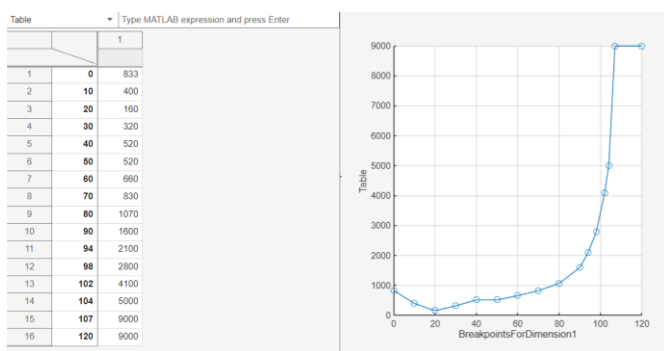
Niebieska linia – przyspieszenie, Żółta linia – położenie, Czerwona linia - prędkość

Jak widać na powyższych wykresach udało się uzyskać niewielką zmianę przebiegu funkcyjnego dla położenia bloczka o masie m_1 . W ramach ciekawostki zamieściłem również w jaki sposób zmieniają się parametry bloczka m_2 . Jak widać na wykresie układ zachowuje się bardzo niestabilnie. Aby ostatecznie potwierdzić skuteczność modelu był mi potrzebny jeszcze jeden krok, a model z bloczkiem przesuwnym był doskonałą podkładką pod tworzenie ostatecznego modelu.

Model kompletny:

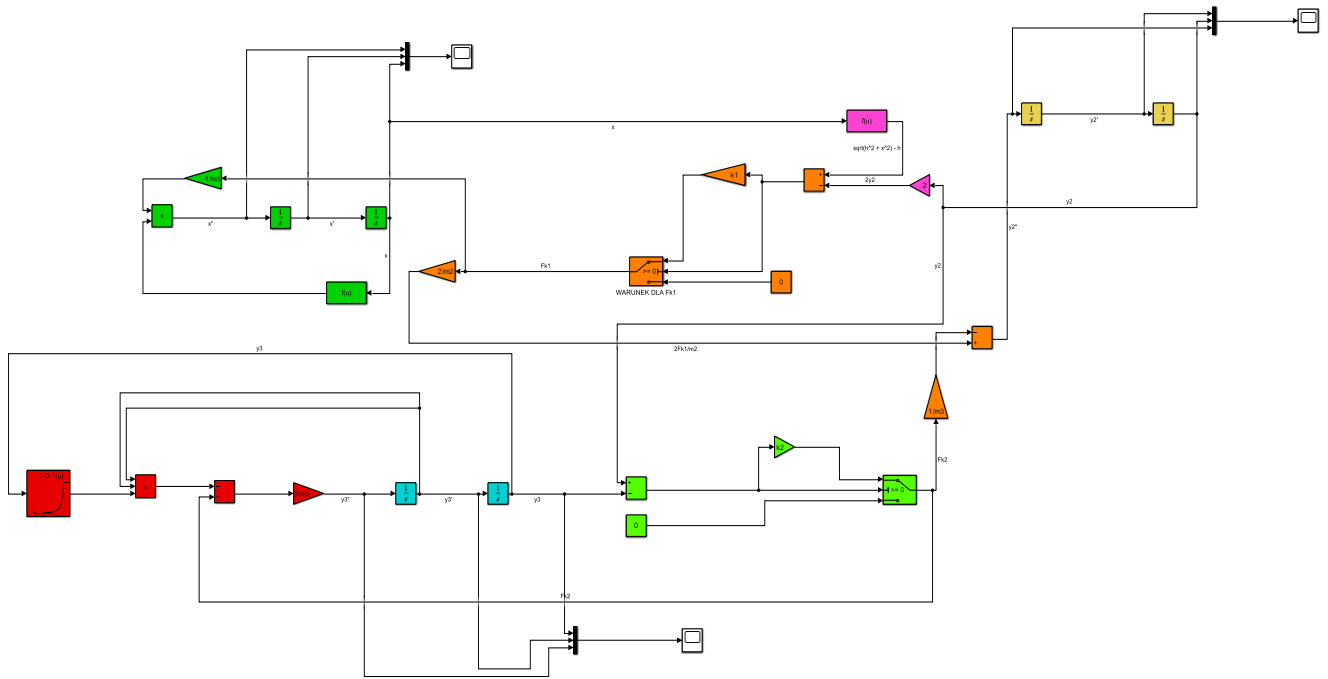


Ostateczny model dołączał do układu tłumik wodny, który ostatecznie gwarantuje mojemu modelowi odpowiedni przebieg. Na początku musiałem się zastanowić w jaki sposób zminimalizować zmiany do poprzedniego układu aby wytworzyć ostateczny model. Nie zmieniałem nic w zielonym, żółtym oraz różowym. Jedyną zmianą jakiej dokonałem w obszarze pomarańczowym było doprowadzenie do sumatora z wyjątkiem y'' sygnału F_{k2}/m_3 zamiast $y_2 * k_2 / m_2$. Niebieski obszar prezentuje kolejne pochodne dla ruchu bloczka m_3 . Czerwony obszar prezentuje uzyskanie sygnału y_3'' , który można opisać równaniem $y_3'' = (F_{k2} - F_b)/m_3$. Kluczowe było tu zastosowanie bloczka Lookup Table, który wypełniłem w ten sposób zgodnie z treścią ze skrypty aby na wyjściu uzyskać siłę F_b :

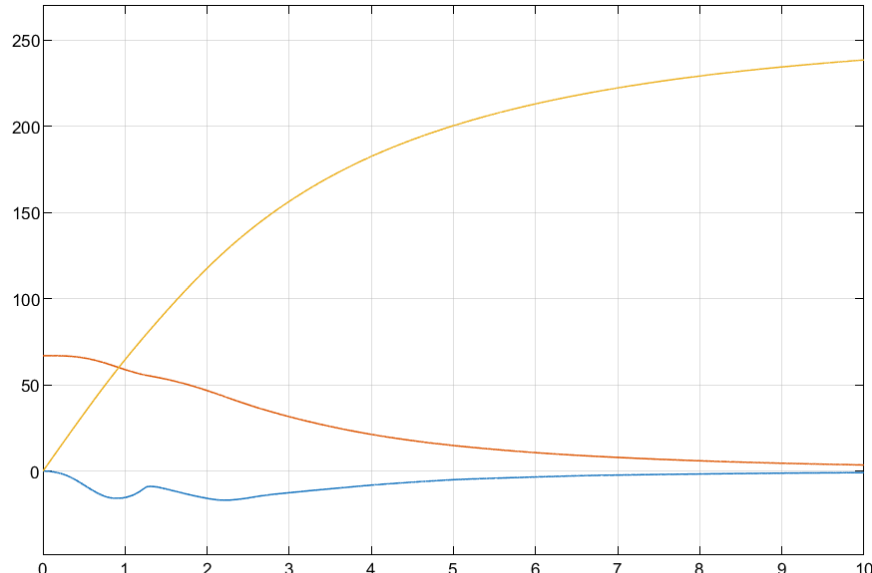


Zielony obszar ukazuje uzyskanie siły F_{k2} , gdzie potrzebny był bloczek switch do utworzenia warunku $F_{k2} = \{k_2(y_2 - y_3) \text{ dla } y_2 \geq y_3 \text{ i } 0 \text{ dla } y_2 < y_3\}$

$$\begin{cases} 0 & \text{dla } y_2 < y_3 \\ \{k_2(y_2 - y_3) & \text{dla } y_2 \geq y_3 \end{cases}$$

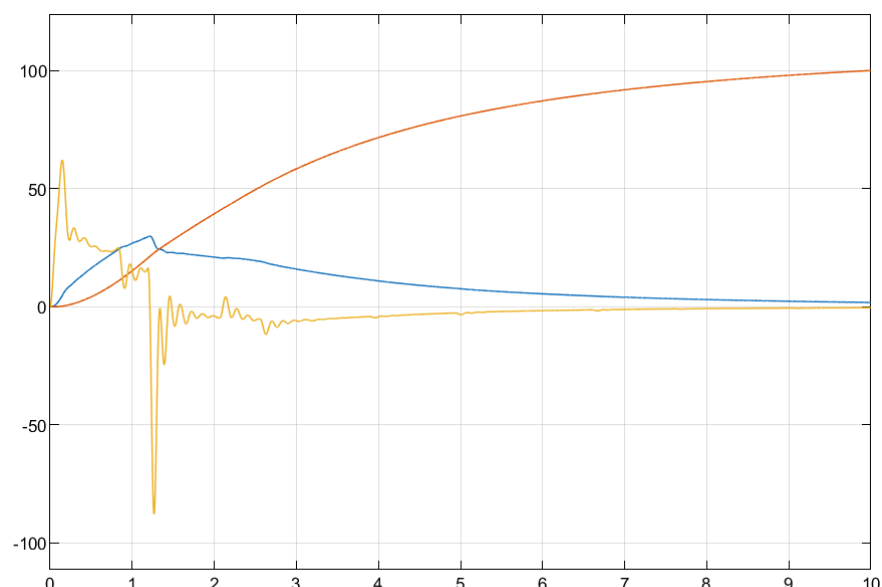


Wykres dla x



Samolot charakteryzuje się bardzo szybkim hamowaniem, zatrzymując się na dystansie mniejszym niż 250 m z niewielkim opóźnieniem. Taka wartość jest dobra, a piloci nie powinni mieć większych problemów z wyhamowaniem pojazdu. Długość drogi hamowania może jednak nie być wystarczająco mała jak na pas startowy lotniskowca. Należy jednak uwzględnić, że w symulacji pominięto użycie hamulców w samolocie, co w rzeczywistości skróciłoby dystans hamowania. W ciekawy sposób przez rodzaj tłumika oraz sprężyn początkowo zachowuje się przyspieszenie jednak nie ma w praktyce żadnego widocznego wpływu na inne parametry. W ramach ciekawostki zamieszczam również charakterystyki dla y_2 oraz y_3 , które już wyglądają bardzo przywojcie.

Wykres dla y2:



Wykres dla y3

